

○ 清水建設 正会員 工藤信幸
名古屋大学 正会員 早川美鶴
Purdue大学 学生員 大谷恭弘

1. 序文

本論文は圧縮力、または圧縮力と曲げを受ける薄板集成鋼圧縮部材の局部座屈と全体座屈の達成挙動の解析的研究の一端を述べたものである。解析は二段階に分けて、第一段階で1層は薄板の弾塑性有限要素法に基づいて有限要素法を用いて短柱要素の局部座屈を考慮して平均的モーメント-曲率-軸力(M-モーメント-P)を求めたところである。第二段階ではM-モーメント曲率を部材の長手方向に積分し、全体座屈の達成挙動を求めるところである。

本論文は第一段階の解析については述べたものであり、第二段階の解析方法が結果は別報にて述べる。

2. 解析手法

初期不整直を有する長柱を解析するに当って長柱を長手方向に輪切りにして、得られた短柱要素の局部座屈を考慮した平均的モーメント-曲率-軸力曲線を有限要素法を用いて求めた。断面形状は任意であるが、ここでは箱形断面を対象とした。図1(a)に示すように断面を三角形要素に分割し、一定軸力P、平均モーメントMが増加する短柱の挙動を解析する。有限要素モデルとしては、断面形状に対する適合モデル、断面外形状に対するHerrmannモデルを採用する。変位場は一次式を仮定し、応力場は要素内一定とする。初期座屈を図1(b)のように定義する。要素の構造剛性方程式は次式で与えられる。

$$\left[\begin{array}{c} \mathbf{K} \\ \mathbf{M}_n \end{array} \right] \left\{ \begin{array}{c} \mathbf{dI} \\ \mathbf{M}_{in} \end{array} \right\} = \left\{ \begin{array}{c} \mathbf{P}_0 \\ \mathbf{0} \end{array} \right\} + \left\{ \begin{array}{c} \bar{\mathbf{P}}^{(0)} \\ \bar{\mathbf{M}}^{(0)} \end{array} \right\} - \left\{ \begin{array}{c} \mathbf{P}_x^{(0)} \\ \mathbf{M}_x^{(0)} \end{array} \right\} \quad (1)$$

ここで、 $[\mathbf{K}]$ = 要素の構造剛性マトリックス、 \mathbf{dI} = $\{u, v, w\}$ = 要素の増分節点変位ベクトル、 \mathbf{M}_n = 要素の増分節点モーメントベクトル、 $\bar{\mathbf{P}}$ = 要素の増分節点力ベクトル、 $\bar{\mathbf{M}}$ = 要素の増分節点モーメントベクトル、 $\bar{\mathbf{P}}^{(0)}$ = 状態(0)の要素節点力ベクトル、 $\bar{\mathbf{M}}^{(0)}$ = 状態(0)の要素節点モーメントベクトル、 $\mathbf{P}_x^{(0)}$ = 状態(0)の要素の増分節点力ベクトル、 $\mathbf{M}_x^{(0)}$ = 状態(0)の要素の増分節点モーメントベクトルである。式を全要素について重ね合すところにより、 $\{\mathbf{P}\} + \{\bar{\mathbf{P}}^{(0)}\} - \{\bar{\mathbf{M}}^{(0)}\}$ は通常の変位法と同様に節点での合力が0となる。一方 $\{\mathbf{M}\} + \{\bar{\mathbf{M}}^{(0)}\} - \{\bar{\mathbf{P}}^{(0)}\}$ は節辺での内折角の不連続を表す項となるが、本解析の場合 $\{\mathbf{M}\}$ は零であり、 $\{\bar{\mathbf{M}}^{(0)}\}$ は相隣接要素が共有可能節辺での節辺に直角方向の内折角の和であり、荷重増分前の要素の等価力学的考慮から求めらる。 $\{\bar{\mathbf{P}}^{(0)}\}$ は要素の応力場から直接求めらる。初期不整直は図2に示す様に、構成要素の初期内折角を基にした残留応力を考慮する。材料は完全弾塑性体として、Von Misesの降伏条件とPrandtl-Reussの塑性流下理論を用いる。剛性行列 $[\mathbf{K}]$ を求めるために、要素を厚手方向に5分割し、Simpson公式を用いて積分を行う。軸方向圧縮力P一定の下で、材端モーメントM及び部材の平均曲率を求めるために材端截面近傍に擬型的に変化する強制変位積分を与え、それを生ずる反力を軸力P、材端モーメントMを求める。軸力が与えらる直後におけるモーメント-曲率-軸力計算を行う。

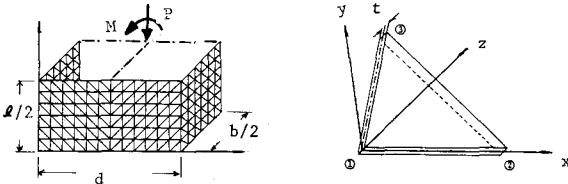


Fig. 1 FEM Mesh and Element

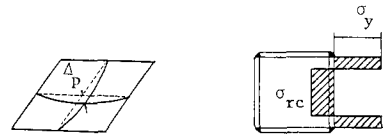


Fig. 2 Initial Imperfections

任意の状態における部材の平均曲率重は、その時点、
手で部材端に与えられた強制変位の勾配 δ より
次式を用いて求めることができます。すなはち、
 $\theta = 2\delta / l$ であり l は短柱要素部材長である。

3. 数値解析結果

一様圧縮板の解析 一様圧縮板の境界条件として、非載荷辺に拘束されない、すなはち載荷辺に一様な強制変位を与える、その反りにより圧縮力を評価する。面外運動に対する境界条件として、周辺単純支持とした。板要素の最大初期たわみは板幅の0.005倍とし、端接に与えられる残留応力を考慮した。
(圧縮残留応力 = $(0.081 \sim 0.25)\sigma_y$) 板の分割は、対称性を考慮して板の長手方向に6等分割、板幅方向に残留応力分布に対応する様に12分割とした。解析結果は横軸を平均応力と降伏応力の比(表1)、横軸を平均歪と降伏歪の比(表1)、G.H.Little 及び K.E.Moxham の結果²⁾と比較して図3に示す。一様圧縮板の強度は、初期たわみ、残留応力と初期不整による影響が大きいこと、及ぶ影響は幅厚比が小さくなる程大きくなる考え方である。また本解析結果は、Little, Moxham と良く一致している。

短柱のM- ϕ -P曲線の解析 M- ϕ -P曲線は、短柱のアスペクト比(フランジ長さ/フランジ幅)に左右される。本解析では数種類のアスペクト比を用いてM- ϕ -P曲線を求め、その中で最小の強度を与えたアスペクト比を採用した。M- ϕ -P曲線は代表的なもととてフランジの幅厚比 $b/t = 29$ 、軸力 $P/P_y = 0.5$ について求め、アスペクト比 $\alpha = 0.5 \sim 1.2$ に対する等厚の長方形箱形断面柱(ウェブ幅/フランジ幅 = 0.75)のM- ϕ -P曲線はアスペクト比 $0.6 \sim 0.7$ で最小の強度を示した。また正方形箱形断面柱に対するM- ϕ -P曲線は長方形箱形断面柱と同様の傾向を示した。従って、M- ϕ -P曲線を求める際にはアスペクト比 $\alpha = 0.7$ を用いる事とした。幅厚比 $b/t = 44$ 、長方形断面柱(ウェブ幅/フランジ幅 = 0.75)に対するM- ϕ -P曲線を図4に示す。ここで P_y は全断面降伏軸力、 M_y は降伏モーメント、 ϕ は降伏モーメント時の曲率である。解析に当たっては、短柱要素の対称性から短柱要素全体の1/4を解析対象とした。構成板要素の最大初期たわみはフランジ幅の0.0025倍とし、圧縮残留応力は降伏応力の0.2倍とした。

4. 結論

一様圧縮板の強度は初期不整に大きく影響され、幅厚比が小さくなる程敏感である。また箱形断面全体を対象にして解析を行うことにより、軸力負担を有するエンドの挙動を正確に捉えることが可能、精度良い局部座圧を考慮したM- ϕ -P曲線を求めることが可能である。

参考文献

- 1) 宇佐美知ら、"鋼圧縮部材の連成座屈挙動の解析的研究", 第39回年次学術講演会概要集, 1984.
- 2) Bradfield, C.D., "An Evaluation of The Elastic-Plastic Analyses of Steel Plates Loaded by Uniaxial In-Plane Compression", Int. J. Mech. Sci., Vol. 24, No. 3, 1982, pp. 127 - 146

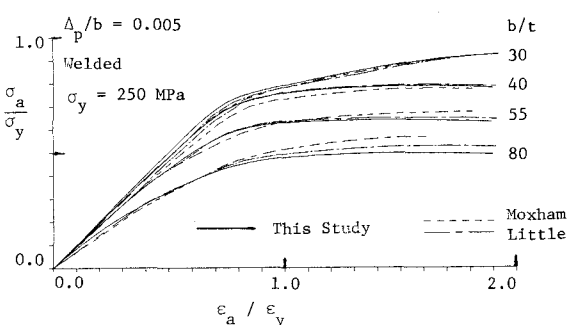


Fig. 3 Comparison with Available Solutions

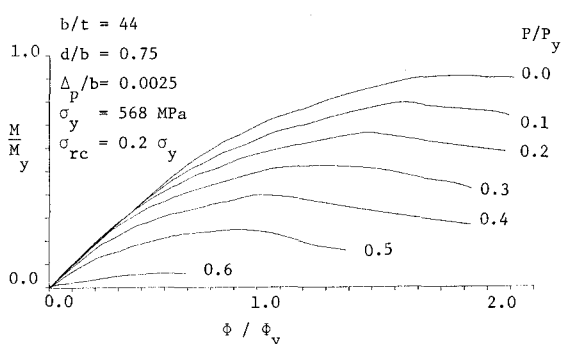


Fig. 4 Average M- ϕ -P Curves of Rectangular Box Section
(Web Width/Flange Width=0.75)